

九州大学応用力学研究所 正員 大屋裕二

正員 中村泰治

渡辺公彦

1. まえがき

直方体の空力特性およびその周辺流れ場に対し、乱れが与える影響を明らかにする研究の一報告である。今回の実験では、先報¹⁾の実験に加えてより小さなスケールの乱れが直方体の背圧に与える効果を調べ、また同時に近傍流れ場に与える乱れの影響も調べた。結局、2回の報告を通じて乱れスケール比 L_x/h (L_x : 縦方向乱れスケール, h : 直方体の高さ) は $0.08 \sim 14$ の範囲、乱れの強さは $U'/U = 3.5 \sim 13\%$ という乱流場条件となる。

2. 実験装置と方法

今回、新たに用いた小さな乱流格子は吸幅 $b = 2.5\text{cm}$ 、マッシュ幅 $M = 13\text{cm}$ の bi-planar 型である。実験模型は $d/h = 0.1, 0.5, 1.0, 2.0$ の4種類の直方体 (d : 流れ方向長さ) において種々の大きさで用意した。測定内容は各モデルの時間平均背圧値、側面静圧分布、wake 内の流れ方向静圧分布 (E打点中心軸から $0.2h$ 離れた wake 軸)、後流速度変動等である。圧力係数 C_p の評価においてその基準動圧、静圧は、モデル位置におけるモデル無しの状態での気流場の値を採用した。測定時の風速は 10m/s で相当する Re 数は $1.4 \times 10^4 \sim 2.8 \times 10^5$ であった。

3. 実験結果

前回同様、開発効果の修正は Maskell の方法を用いた。図2には直方体の軸長比 d/h に対する背圧係数 C_{pb} の変化を一様流と2種類の乱流場で比較して示す。図3a, b は乱れのスケールおよび強さの変化に対する C_{pb} 値の変化を示したものである。前回の報告では、基準静圧、動圧を得るためのピトー静圧管を格子乱流場内に固定していくために、特に格子に近い場所での disk ($d/h = 0.1$) の C_{pb} 値に誤差が生じていた。したがってここで前報告1, 2)の図7は本報告の図3a, b のように訂正する。図4a-d は、各 d/h のモデルに限らず、smooth flow での周辺流れ場に対して代表的な大小2種類のスケールの乱れがそれぞれどのよろ影響を与えていくかを静圧分布で示したものである。図3および図4は、直方体の空力特性、周辺流れに対し乱れのスケールが重大な影響を与えることを明確に示している。その結果は、各モデルの軸長比 d/h によって現われた方が基本的に異なるが、未だ乱れスケールの大小によってかなり異なっている。まず、 $d/h = 0.1$ の disk (図3a, 4a) に注目すると、small scale turb. (その乱れの代表的大きさが物体のほく離せん断層の厚さ程度をさす、 $L_x/h = 0.08 \sim 0.2$) は、背圧にはほとんど影響を及ぼさないが、wake を少し縮小させている。一方、large scale turb. (物体と同程度の大きさの渦が代表的な乱れ) は、 $L_x/h = 2.5$ をピークにかなり C_{pb} を低下させ、同時に wake を大幅に拡大させている。次に $d/h = 1.0$ の cube では、ほく離せん断層と後縁の干渉が支配的である。すなわち、small scale turb. では図4c からさわかまよろにはく離せん断層が側面に再付着してかなりの背圧回復が生じている。しかし、large scale turb. になるとしごいにその再付着効果は弱まり、 C_{pb} 並びに周囲静圧分布は一様流のそれに近くなる傾向を示す。 $d/h = 0.5$ は、cube と disk のそれぞれの効果を small scale turb. と large scale turb. で併せて示している。 $d/h = 2.0$ では、乱れスケールの影響はほとんど示されなかつた。

以上のような実験結果は、3次元物体に対し従来提唱されてきた closed wake model^{3, 4)} (図5a) ではほとんど理解し難い。むしろ、図5a に示すような渦形成、放出を伴う open wake model¹⁾ を想定したい。すなわち、disk や $d/h = 0.5$ の直方体で現われた C_{pb} の大幅な低下は、物体の渦形成、放出の過程において近づき流れのある代表的なスケールをもった乱れが運動的に干渉し合ひ、上記のような効果を生じせしめるものと考え

5413。

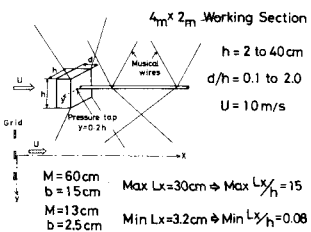


図1. 直方体モデルと座標系

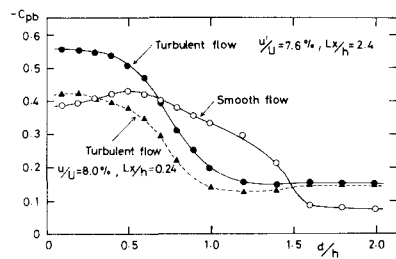


図2. 背圧係数 C_{pb} vs. 軸長比 d/h

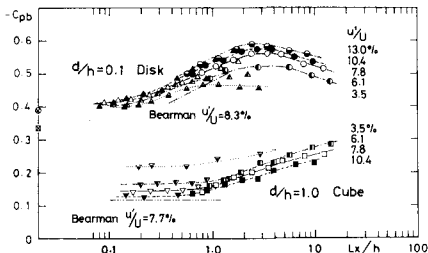


図3a. 背圧係数 C_{pb} vs. フルード数 Lx/h
 $d/h = 0.1$ (disk) & $d/h = 1.0$ (cube)

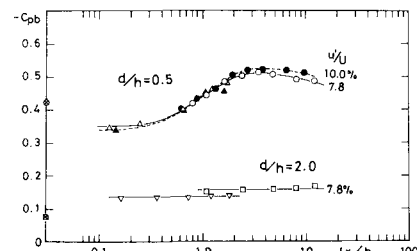


図3b. 背圧係数 C_{pb} vs. フルード数 Lx/h
 $d/h = 0.5$ & $d/h = 2.0$

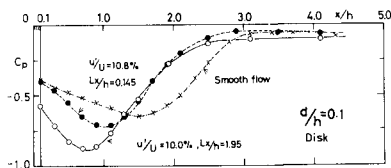


図4a. $d/h = 0.1$ (disk)

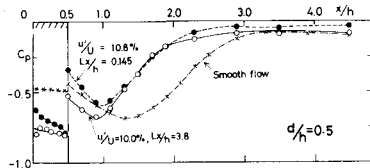


図4b. $d/h = 0.5$

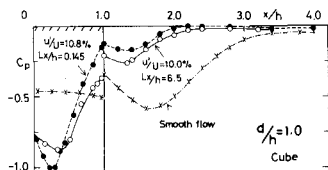


図4c. $d/h = 1.0$ (cube)

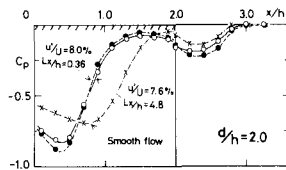


図4d. $d/h = 2.0$

図4. 直方体の側面 center line (流れ方向)と wake軸(中心から $0.2h$ off)に沿った静圧分布

参考文献

- 1) 大屋, 中村, 渡辺: 第37回土木年次講演集, 1982.
- 2) 中村, 大屋, 渡辺: 第7回風工学シンポ論文集, 1982.
- 3) Bearman : J. Fluid Engng., 102, 1980.
- 4) MacLennan & Vincent : J.F.M., 120, 1982.

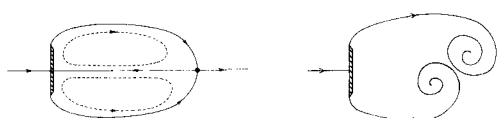


図5a. closed wake model

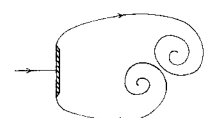


図5b. open wake model